



# OSNOVE MEHANIKE LOMA

**MARKO BARTOLAC**

ak. godina 2023./2024.

1



## 5. LINEARNO ELASTIČNA MEHANIKA LOMA

### 5.7 Analiza polja naprezanja i pomaka oko pukotine

G. R. Irwin je 1957. godine formulirao uvjet za razvoj pukotine (kriterij lokalnog loma u vrhu pukotine) na osnovi intenziteta polja naprezanja u neposrednoj okolini vrha pukotine (uvjet je potpuno ekvivalentan Griffithovu energetsom uvjetu).

U LEFM se za određivanje polja naprezanja i deformacija u okolini pukotine primjenjuju rješenja dobivena **metodama linearne teorije elastičnosti** (Westergaard, Mushelishvili, Kolosov, Irwin, Sneddon, Williams...).

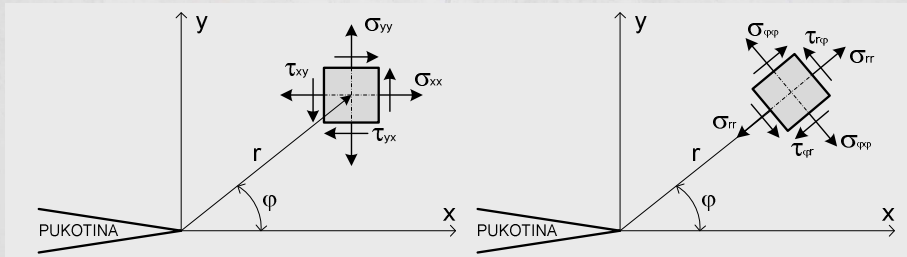
2

- Izraz za naprezanja u tijelu s pukotinom (zatvoreni oblik, izotropno linearno elastično ponašanje):

$$\sigma_{ij} = \left( \frac{k}{\sqrt{r}} \right) f_{ij}(\varphi) + \sum_{m=0}^{\infty} A_m r^{\frac{m}{2}} g_{ij}^{(m)}(\varphi)$$

- $\sigma_{ij}$  – tenzor naprezanja,
- $r$  i  $\varphi$  – prema slici,
- $k$  – konstanta,
- $f_{ij}$  – bezdim. funkcija parametra  $\varphi$ .

- Za članove viših redova,  $A_m$  je amplituda, a  $g_{ij}^{(m)}$  je bezdimenzijska funkcija od  $\varphi$  za m-ti red.



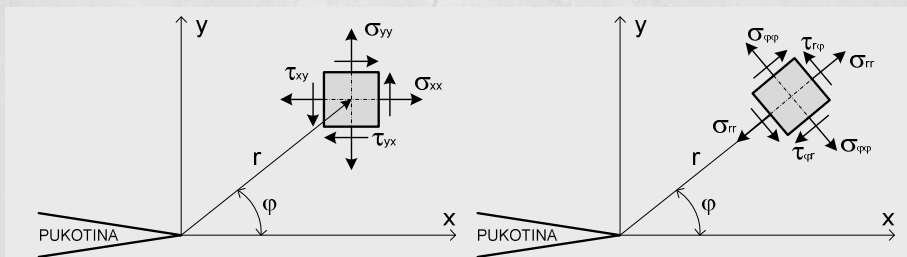
- Naprezanje u okolini vrha pukotine se mijenja s  $\frac{1}{\sqrt{r}}$  (vodeći član).

**VAŽNO!**

3

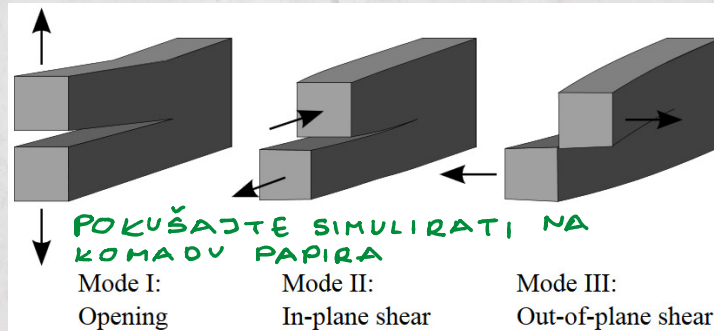
- Kada  $r \rightarrow 0$ , prvi član  $\rightarrow \infty$  (singularnost naprezanja), ali ostali članovi imaju konačne vrijednosti ili teže nuli.
- Naprezanje u okolini vrha pukotine se mijenja s  $\frac{1}{\sqrt{r}}$ , a pomak s  $\sqrt{r}$ .
- Jednačba opisuje singularnost naprezanja jer naprezanje asimptotski teži prema  $r = 0$  (sjetimo se da i Inglisovo rješenje podrazumijeva singularnost naprezanja u vrhu oštrog pukotine).

$$\sigma_{ij} = \left( \frac{k}{\sqrt{r}} \right) f_{ij}(\varphi) + \sum_{m=0}^{\infty} A_m r^{\frac{m}{2}} g_{ij}^{(m)}(\varphi)$$



4

## Oblici razvoja pukotine – položaj (vrsta) opterećenja u odnosu na pukotinu



- Element s pukotinom može biti opterećen na neki od ovih načina ili nekom od njihovih kombinacija (s dva ili tri načina).
- **Najopasniji lomovi nastaju pri razvoju pukotine otvaranjem (oblik I) -> smjer opterećenja je okomit na ravninu pukotine.**

5

- Kod svakog oblika razvoja pukotine se naprezanja mijenjaju s  $\frac{1}{\sqrt{r}}$ , ali konstanta proporcionalnosti  $k$  i funkcija  $f_{ij}$  ovise o predmetnom obliku.
- Iz praktičnih razloga  $k$  mijenjamo s **koeficijentom intenziteta naprezanja**  $K = k\sqrt{2\pi}$  [MPa $\sqrt{m}$ ].
- Svakom obliku razvoja pukotine odgovara posebno označen koeficijent intenziteta naprezanja:  $K_I$ ,  $K_{II}$  i  $K_{III}$ .
- Polje naprezanja ispred vrha pukotine kod izotropnog linearno elastičnog materijala se može izraziti kao:

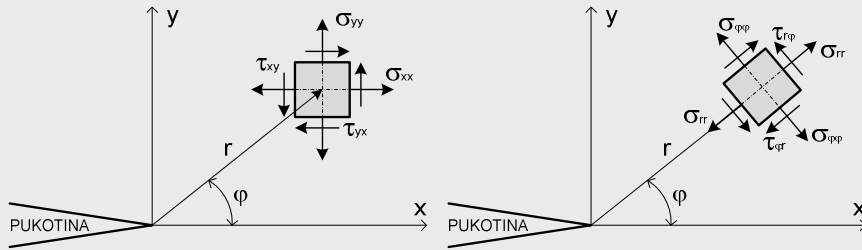
$$\sigma_{ij}^{(I,II,III)} = \frac{K_{I,II,III}}{\sqrt{2 \cdot \pi \cdot r}} \cdot f_{ij}^{(I,II,III)}(\varphi)$$

Ne čitamo  
kao  $K_i$ !

- U slučaju mješovitog oblika razvoja pukotine - superpozicija:

$$\sigma_{ij}^{(ukupno)} = \sigma_{ij}^{(I)} + \sigma_{ij}^{(II)} + \sigma_{ij}^{(III)}$$

6



Riješiti neki ravninski problem teorije elastičnosti, znači zadovoljiti diferencijalne jednačbe ravnoteže:

$$\sum_{i,j=x,y,z} \frac{\partial \sigma_{ij}}{\partial i} + F_j = 0$$

MATEMATIČKA  
POŽADINA  
→ INFORMATIVNO

i uvjete kompatibilnosti deformacija:

$$\frac{\partial^2 \varepsilon_x}{\partial y^2} + \frac{\partial^2 \varepsilon_y}{\partial x^2} = 2 \cdot \frac{\partial^2 \varepsilon_{xy}}{\partial x \partial y}$$

7

Ako su sile  $F_j = 0$ , **Airy** je pokazao da postoji funkcija naprezanja  $\Phi(x, y)$  koja zadovoljava jednačbe ravnoteže:

$$\begin{cases} \sigma_x \\ \sigma_y \\ \tau_{xy} \end{cases} = \begin{cases} \frac{\partial^2 \Phi}{\partial y^2} \\ \frac{\partial^2 \Phi}{\partial x^2} \\ \frac{\partial^2 \Phi}{\partial x \partial y} \end{cases}$$

Uvjet kompatibilnosti u funkciji komp. naprezanja

$$\Rightarrow \left( \frac{\partial^2}{\partial x^2} + \frac{\partial^2}{\partial y^2} \right) (\sigma_x + \sigma_y) = \nabla^2 (\sigma_x + \sigma_y) = 0$$



$$\frac{\partial^4 \Phi}{\partial x^4} + 2 \frac{\partial^4 \Phi}{\partial x^2 \partial y^2} + \frac{\partial^4 \Phi}{\partial y^4} = 0$$

$$\nabla^4 (\Phi) = \nabla^2 [\nabla^2 (\Phi)] = 0$$

Uvodimo Westergaardovu kompleksnu funkciju naprezanja:

$$Z = Z(z)$$

8

**Airyeva** funkcija naprezanja  $\Phi(x, y)$

i kompleksna funkcija:  $Z = Z(z)$

su povezane su preko integrala:

$$\Phi(x, y) = \operatorname{Re} \left[ \int (Z(z) dz) \right] + y \cdot \operatorname{Im} \left( \int Z(z) dz \right) = \operatorname{Re} \bar{\bar{Z}}(z) + y \cdot \operatorname{Im} \bar{\bar{Z}}(z)$$

gdje je  $Z = \frac{d\bar{Z}}{dz}$      $\bar{\bar{Z}} = \frac{d\bar{\bar{Z}}}{dz}$

Upotrebom Cauchy-Riemannovih jednadžbi:

$$\frac{\partial[\operatorname{Re} Z(z)]}{\partial x} = \frac{\partial[\operatorname{Im} Z(z)]}{\partial y} \quad \frac{\partial[\operatorname{Re} Z(z)]}{\partial y} = -\frac{\partial[\operatorname{Im} Z(z)]}{\partial x}$$

dobivamo:  $\sigma_x = \operatorname{Re} Z(z) - y \cdot \operatorname{Im} Z'(z)$

$$\sigma_y = \operatorname{Re} Z(z) + y \cdot \operatorname{Im} Z'(z)$$

$$\tau_{xy} = -y \cdot \operatorname{Re} Z'(z)$$

9

Točna naprezanja za određeni problem dobiti ćemo upotrebom funkcije  $Z(z)$  koja ispunjava rubne uvjete.

Za primjer beskonačne opterećene ploče sa središnjom pukotinom duljine  $2a$  to je:

$$Z(z) = \frac{\sigma}{\sqrt{1 - \frac{a^2}{z^2}}}$$

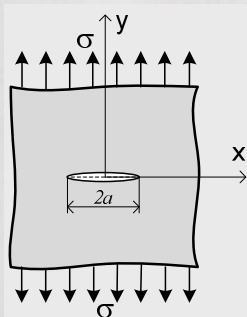
Na kraju dobivamo (izvod u skripti):

$$\sigma_x = \frac{\sigma \cdot \sqrt{\pi \cdot a}}{\sqrt{2 \cdot \pi \cdot r}} \cdot \cos \frac{\varphi}{2} \cdot \left( 1 - \sin \frac{\varphi}{2} \cdot \sin \frac{3 \cdot \varphi}{2} \right)$$

$$\sigma_y = \frac{\sigma \cdot \sqrt{\pi \cdot a}}{\sqrt{2 \cdot \pi \cdot r}} \cdot \cos \frac{\varphi}{2} \cdot \left( 1 + \sin \frac{\varphi}{2} \cdot \sin \frac{3 \cdot \varphi}{2} \right)$$

$$\tau_{xy} = \frac{\sigma \cdot \sqrt{\pi \cdot a}}{\sqrt{2 \cdot \pi \cdot r}} \cdot \sin \frac{\varphi}{2} \cdot \cos \frac{\varphi}{2} \cdot \cos \frac{3 \cdot \varphi}{2}$$

10



Naprezanja se dobiju umnoškom „položaja“  $\frac{1}{\sqrt{2 \cdot \pi \cdot r}} \cdot f(\varphi)$   
i faktora  $\sigma \cdot \sqrt{\pi \cdot a}$ .

Taj faktor određuje veličinu elastičnih naprezanja u području korijena pukotine i zove se **koeficijent intenziteta naprezanja** oblika I razvoja pukotine i označava se:

$K_I = \sigma \cdot \sqrt{\pi \cdot a}$

*SAMO ZA DESK. PLOČU SA SRED. PUKOTINOM*

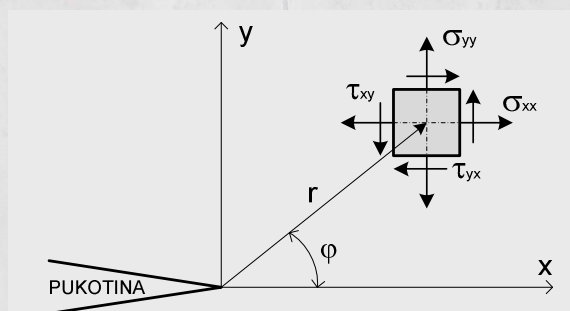
$$\begin{cases} \sigma_x \\ \sigma_y \\ \tau_{xy} \end{cases} = \frac{K_I}{\sqrt{2 \cdot \pi \cdot r}} \cdot \begin{cases} \cos \frac{\varphi}{2} \cdot \left( 1 - \sin \frac{\varphi}{2} \cdot \sin \frac{3 \cdot \varphi}{2} \right) \\ \cos \frac{\varphi}{2} \cdot \left( 1 + \sin \frac{\varphi}{2} \cdot \sin \frac{3 \cdot \varphi}{2} \right) \\ \sin \frac{\varphi}{2} \cdot \cos \frac{\varphi}{2} \cdot \cos \frac{3 \cdot \varphi}{2} \end{cases}$$

11

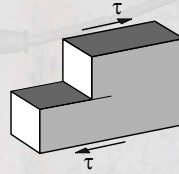
Za ravninsko stanje naprezanja vrijedi  $\sigma_z = \tau_{yz} = \tau_{zx} = 0$ , a za ravninsko stanje deformacija  $\sigma_z = -\nu(\sigma_x + \sigma_y)$ .

$$\varphi = 0 \Rightarrow \sigma_x = \sigma_y = \frac{K_I}{\sqrt{2 \cdot \pi \cdot r}} \quad \tau_{xy} = 0.$$

Od samo jednoosnog naprezanja u ploči s pukotinom dobivamo dvoosno stanje naprezanja u vrhu pukotine!



U slučaju II oblika otvaranja pukotine:

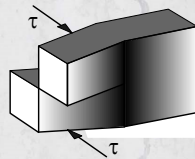


$$\begin{cases} \sigma_x \\ \sigma_y \\ \tau_{xy} \end{cases} = \frac{-K_{II}}{\sqrt{2 \cdot \pi \cdot r}} \cdot \begin{cases} \sin \frac{\varphi}{2} \cdot \left( 2 + \cos \frac{\varphi}{2} \cdot \cos \frac{3 \cdot \varphi}{2} \right) \\ -\sin \frac{\varphi}{2} \cdot \left( \cos \frac{\varphi}{2} \cdot \cos \frac{3 \cdot \varphi}{2} \right) \\ -\cos \frac{\varphi}{2} \cdot \left( 1 - \sin \frac{\varphi}{2} \cdot \sin \frac{3 \cdot \varphi}{2} \right) \end{cases} \quad K_{II} = \tau \cdot \sqrt{\pi \cdot a}$$

$$\varphi = 0 \Rightarrow \sigma_x = \sigma_y = 0 \quad \tau_{xy} = \frac{K_{II}}{\sqrt{2 \cdot \pi \cdot r}}$$

13

U slučaju III oblika otvaranja pukotine:



$$\tau_{xz} = \frac{-K_{III}}{\sqrt{2 \cdot \pi \cdot r}} \cdot \sin \frac{\varphi}{2} \quad \tau_{yz} = \frac{K_{III}}{\sqrt{2 \cdot \pi \cdot r}} \cdot \cos \frac{\varphi}{2}$$

$$K_{III} = \tau \cdot \sqrt{\pi \cdot a}$$

14

Izražavanje jednadžbi polja naprezanja u obliku glavnih naprezanja korisno je kod razmatranja uvjeta popuštanja, zbog procjene veličine plastične zone.

$$\sigma_{1,2} = \frac{\sigma_x + \sigma_y}{2} \pm \frac{1}{2} \sqrt{(\sigma_x - \sigma_y)^2 + 4 \cdot \tau_{xy}^2}$$

$$\sigma_1 = \frac{K_I}{\sqrt{2 \cdot \pi \cdot r}} \cdot \cos \frac{\varphi}{2} \cdot \left(1 + \sin \frac{\varphi}{2}\right)$$

$$\sigma_2 = \frac{K_I}{\sqrt{2 \cdot \pi \cdot r}} \cdot \cos \frac{\varphi}{2} \cdot \left(1 - \sin \frac{\varphi}{2}\right)$$

$$\sigma_3 = 0 \quad \text{ravninsko naprezanje}$$

$$\sigma_3 = \frac{2 \cdot \nu \cdot K_I}{\sqrt{2 \cdot \pi \cdot r}} \cdot \cos \frac{\varphi}{2} \quad \text{ravninska deformacija}$$

$$\begin{cases} \sigma_x \\ \sigma_y \\ \tau_{xy} \end{cases} = \frac{K_I}{\sqrt{2 \cdot \pi \cdot r}} \cdot \begin{cases} \cos \frac{\varphi}{2} \cdot \left(1 - \sin \frac{\varphi}{2} \cdot \sin \frac{3 \cdot \varphi}{2}\right) \\ \cos \frac{\varphi}{2} \cdot \left(1 + \sin \frac{\varphi}{2} \cdot \sin \frac{3 \cdot \varphi}{2}\right) \\ \sin \frac{\varphi}{2} \cdot \cos \frac{\varphi}{2} \cdot \cos \frac{3 \cdot \varphi}{2} \end{cases}$$

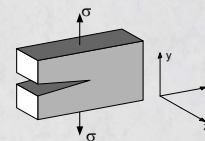
15

Izrazi za **elastično polje pomaka** omogućuju proračun akumulirane elastične energije, a pružaju osnovu za pomacima kontrolirane kriterije loma.

U slučaju **I oblika** otvaranja pukotine (izvod u skripti):

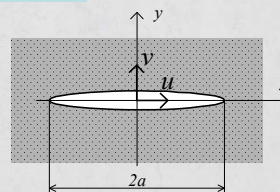
$$u = \frac{K_I \cdot (1 + \nu)}{E} \cdot \sqrt{\frac{r}{2 \cdot \pi}} \cdot \cos \frac{\varphi}{2} \cdot \left(\frac{\kappa - 1}{2} + \sin^2 \frac{\varphi}{2}\right)$$

$$v = \frac{K_I \cdot (1 + \nu)}{E} \cdot \sqrt{\frac{r}{2 \cdot \pi}} \cdot \sin \frac{\varphi}{2} \cdot \left(\frac{\kappa + 1}{2} - \cos^2 \frac{\varphi}{2}\right)$$



$$\kappa = 3 - 4 \cdot \nu \quad \text{ravninsko naprezanje}$$

$$\kappa = \frac{3 - \nu}{1 + \nu} \quad \text{ravninska deformacija}$$



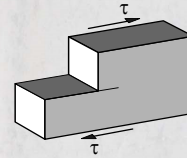
16



U slučaju **II oblika** otvaranja pukotine:

$$u = \frac{K_{II} \cdot (1 + \nu)}{E} \cdot \sqrt{\frac{r}{2 \cdot \pi}} \cdot \sin \frac{\varphi}{2} \cdot \left( \frac{\kappa + 1}{2} + \cos^2 \frac{\varphi}{2} \right)$$

$$v = \frac{K_{II} \cdot (1 + \nu)}{E} \cdot \sqrt{\frac{r}{2 \cdot \pi}} \cdot \cos \frac{\varphi}{2} \cdot \left( \frac{\kappa - 1}{2} - \sin^2 \frac{\varphi}{2} \right)$$

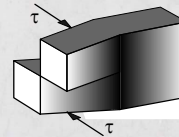


U slučaju **III oblika** otvaranja pukotine:

$$w = \frac{K_{III} \cdot (1 + \nu)}{E} \sqrt{\frac{r}{2 \cdot \pi}} \sin \frac{\varphi}{2}$$

$$\kappa = 3 - 4 \cdot \nu \quad \text{ravninsko naprezanje}$$

$$\kappa = \frac{3 - \nu}{1 + \nu} \quad \text{ravninska deformacija}$$



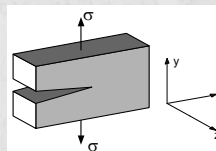
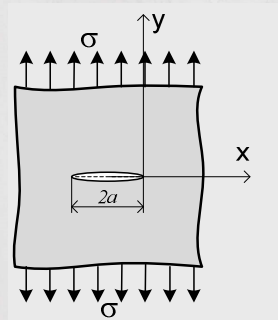
17

## 5. LINEARNO ELASTIČNA MEHANIKA LOMA

### 5.7.1 Koeficijent intenziteta naprezanja

Tijelo s pukotinom može biti opterećeno sa svakim od tri načina otvaranja pukotine ili kombinacijom dva ili tri oblika.

**Najopasniji lomovi nastaju pri razvoju pukotine otvaranjem (I oblik).**



$$K_I = \sigma \cdot \sqrt{\pi \cdot a}$$

18

## 5. LINEARNO ELASTIČNA MEHANIKA LOMA

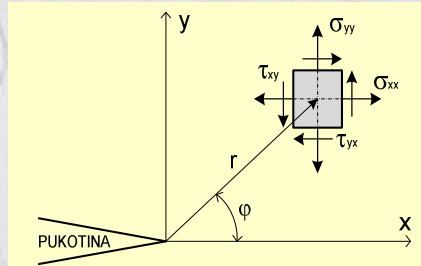
### 5.7.1 Koeficijent intenziteta naprezanja

Polje naprezanja ispred vrha pukotine u izotropnom linearno elastičnom materijalu, možemo napisati i u sljedećem obliku:

$$\lim_{r \rightarrow 0} \sigma_{ij}^I = \frac{K_I}{\sqrt{2 \cdot \pi \cdot r}} \cdot f_{ij}^I(\varphi)$$

$$\lim_{r \rightarrow 0} \sigma_{ij}^{II} = \frac{K_{II}}{\sqrt{2 \cdot \pi \cdot r}} \cdot f_{ij}^{II}(\varphi)$$

$$\lim_{r \rightarrow 0} \sigma_{ij}^{III} = \frac{K_{III}}{\sqrt{2 \cdot \pi \cdot r}} \cdot f_{ij}^{III}(\varphi)$$



U slučaju kombinacije oblika otvaranja pukotine:

$$\sigma_{ij}^{ukupno} = \sigma_{ij}^I + \sigma_{ij}^{II} + \sigma_{ij}^{III} \quad \text{PRINCIP SUPERPOZICIJE}$$

19

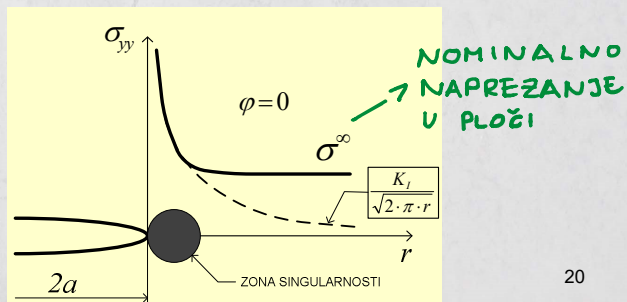
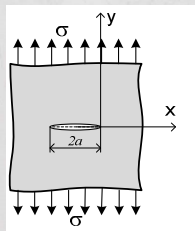
Za  $\varphi = 0$ :

$$\sigma_{xx} = \sigma_{yy} = \frac{K_I}{\sqrt{2 \cdot \pi \cdot r}} \quad \tau_{xy} = 0$$

Ravnina pukotine je ravnina glavnih naprezanja za oblik I.

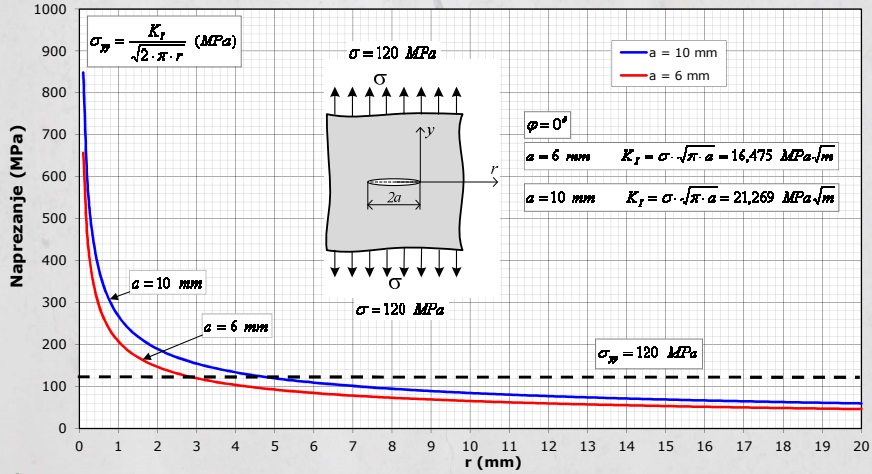
Gornji izraz vrijedi samo u uskom području uz pukotinu, gdje singularnost  $1/\sqrt{r}$  dominira poljem naprezanja.

Koeficijent intenziteta naprezanja definira **amplitudu singularnosti** oko vrha pukotine, odnosno, naprezanja oko vrha pukotine su proporcionalna sa  $K$ .



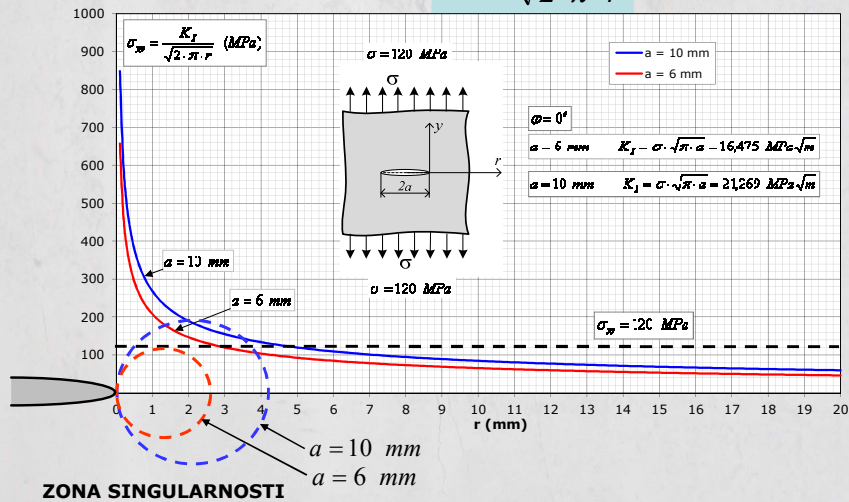
20

$$\varphi = 0 \quad \sigma_{yy} = \frac{K_I}{\sqrt{2 \cdot \pi \cdot r}}$$



RAZLIKE U ODNOSU NA PUKOTINU ŠIRINE 12 mm i 20mm? 21

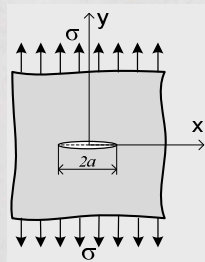
$$\varphi = 0 \quad \sigma_{yy} = \frac{K_I}{\sqrt{2 \cdot \pi \cdot r}}$$



Da bi koeficijent intenziteta naprezanja bio praktično upotrebljiva veličina, mora biti **određen iz geometrije uzorka i naprezanja** koja djeluju na rubu dovoljno udaljenom od pukotine.

Rješenja u zatvorenom obliku postoje za jednostavne konfiguracije (oblike), dok se u složenijim slučajevima  $K_I$  određuje eksperimentalno ili numeričkom analizom.

Jedan od slučajeva za koji postoji rješenje u zatvorenom obliku je pukotina u beskonačnoj ploči opterećena vlačnim naprezanjem.



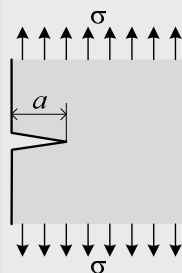
$$K_I = \sigma \cdot \sqrt{\pi \cdot a}$$

(naprezanje  $\cdot \sqrt{\text{dužina}}$ )

$$K_I = K_I(\sigma, a)$$

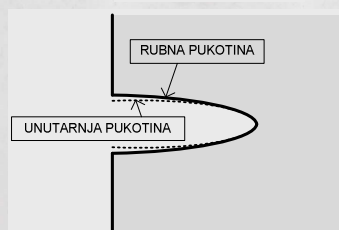
23

Slično je i u **slučaju polu-beskonačne ploče sa pukotinom na rubu**



I u tom slučaju postoji rješenje za  $K_I$  u zatvorenom obliku:

$$K_I = 1,122 \cdot \sigma \cdot \sqrt{\pi \cdot a}$$

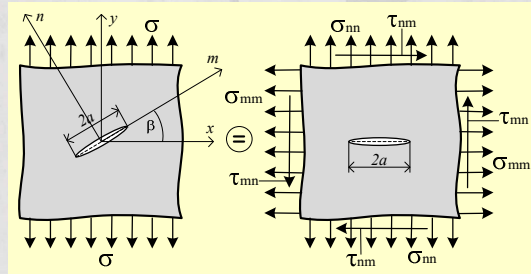


**Pukotina u površinskom sloju koja izlazi na površinu opasnija je od unutarnje pukotine.**

**ZAŠTO ?**

24

### Nagnuta pukotina u beskonačnoj ploči:



DETALJNIJE  
NA  
VJEŽBAMA

$$K_I = \sigma_{mn} \cdot \sqrt{\pi \cdot a} = \sigma \cdot \cos^2 \beta \cdot \sqrt{\pi \cdot a}$$

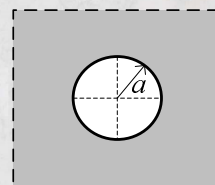
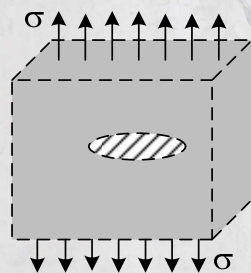
$$K_{II} = \tau_{mn} \cdot \sqrt{\pi \cdot a} = \sigma \cdot \sin \beta \cdot \cos \beta \cdot \sqrt{\pi \cdot a}$$

$\beta = 0$   $\rightarrow$  samo **I oblik**

$\beta = 45^\circ$   $\rightarrow$   $K_{II}$  ima maksimalnu vrijednost

25

### Pukotina u obliku kruga u beskonačnom mediju



PENNY-SHAPED  
DEFECT

$K_I$  se može odrediti u zatvorenom obliku:

$$K_I = \frac{2}{\pi} \cdot \sigma \cdot \sqrt{\pi \cdot a}$$

$$\frac{2}{\pi} \approx 0,64$$

26

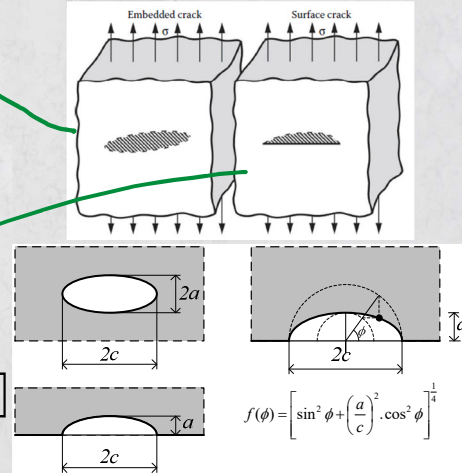
### Eliptična ili polu - eliptična pukotina

$$K_I = \sigma \cdot \sqrt{\frac{\pi \cdot a}{Q}} \cdot f(\phi)$$

$$Q = 1 + 1,464 \cdot \left(\frac{a}{c}\right)^{1,65}$$

$$K_I = \lambda_s \cdot \sigma \cdot \sqrt{\frac{\pi \cdot a}{Q}} \cdot f(\phi)$$

$$\lambda_s = \left(1,13 - 0,09 \cdot \frac{a}{c}\right) \cdot \left[1 + 0,2 \cdot (1 - \sin \phi)^2\right]$$

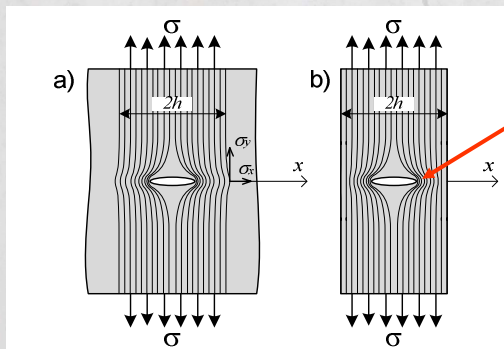


Kad je  $a < c$ ,  $K$  se mijenja uzduž pukotine i max je na 90 stupnjeva.

Ako ploča u kojoj se nalazi pukotina nije „beskonačna“ nego **ima konačne dimenzije**, rješenje u zatvorenom obliku uglavnom nije moguće.

Dok su dimenzije pukotine male u odnosu na ploču, na stanje u vrhu pukotine ne utječu rubovi.

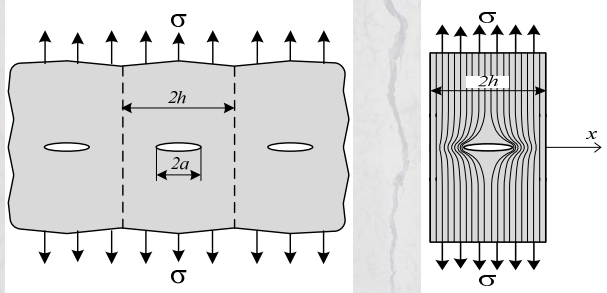
Ako se veličina pukotine povećava ili dimenzije ploče smanjuju, **vanjski rubovi počinju utjecati**.



TRAJEKTORIJE GUŠĆE jer je  $\sigma_x$  na rubu jednako 0.

↓  
VEĆA NAPREZANJA

Jedna od tehnika za određivanje utjecaja ruba ploče konačne širine je da pretpostavimo periodičan niz kolinearnih pukotina u beskonačnoj ploči:



$$K_I = \sigma \cdot \sqrt{\pi \cdot a} \cdot \left[ \frac{2 \cdot h}{\pi \cdot a} \cdot \tan \left( \frac{\pi \cdot a}{2 \cdot h} \right) \right]^{\frac{1}{2}}$$

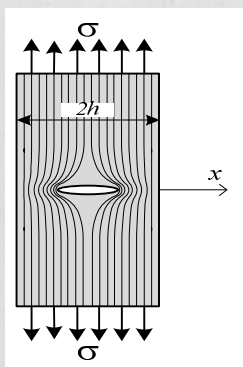
a) u KASNIJEM GRAFUV

$a/h = 0 \rightarrow$  PUKOTINA U BESKONAČNOJ PLOČI

$$K_I = 1,0 \cdot \sigma \cdot \sqrt{\pi \cdot a}$$

29

Točnija rješenja za pukotinu u ploči konačnih dimenzija mogu se dobiti metodom konačnih elemenata -> primjer prikazan polinomom:



$$K_I = \sigma \cdot \sqrt{\pi \cdot a} \cdot \left[ \sec \left( \frac{\pi \cdot a}{2 \cdot h} \right) \right]^{\frac{1}{2}} \cdot \left[ 1 - 0,025 \cdot \left( \frac{a}{h} \right)^2 + 0,06 \cdot \left( \frac{a}{h} \right)^4 \right]$$

$K_I$  se može izračunati uvođenjem **popravnih funkcija** u različitim oblicima, on se može uvijek svesti na jedan oblik:

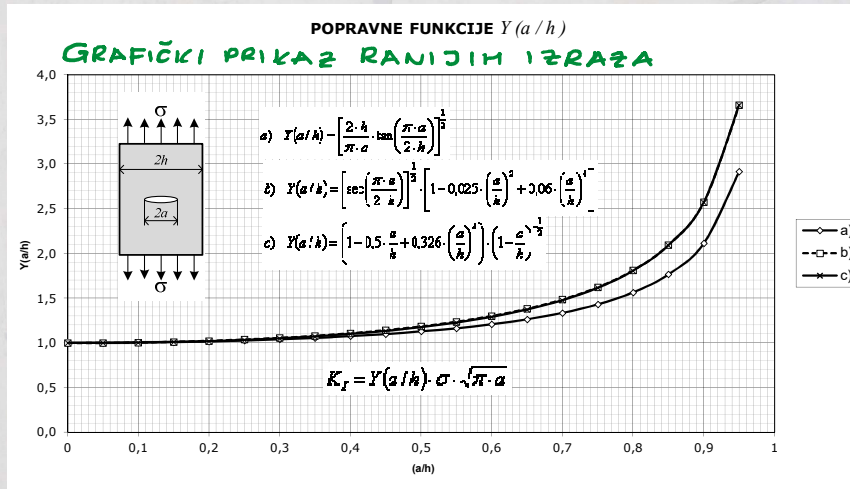
a) u KASNIJEM GRAFUV

$$K_I = Y(a/h) \cdot \sigma \cdot \sqrt{\pi \cdot a}$$

POPRAVNA FUNKCIJA

$\sec \alpha = \frac{c}{b}$      $\operatorname{cosec} \alpha = \frac{c}{a}$   
 $\operatorname{secd} = \frac{1}{\cos d}$      $\operatorname{cosecd} = \frac{1}{\sin d}$

30



$$K_I = Y(a/h) \cdot \sigma \cdot \sqrt{\pi \cdot a}$$

c) Koiter, 1965. godine.  
Točnost 1 % za bilo koji  
odnos a/h.

31

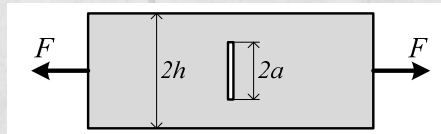
Koeficijent intenziteta naprezanja  $K_I$  može se izračunati i po izrazu  
sljedećeg oblika: **DRUGAČIJI ZAPIS POPRAVNE FUNKCIJE!**

**IZRAZ  
PREKO SILE**

$$K_I = \frac{F}{b \cdot \sqrt{h}} \cdot f(a/h)$$

„b” – širina tijela  
(uzorka) s pukotinom

Za prethodni slučaj:



$$f(a/h) = \sqrt{\frac{\pi \cdot a}{4 \cdot h}} \cdot \sec \frac{\pi \cdot a}{2 \cdot h} \cdot \left[ 1 - 0,025 \cdot \left(\frac{a}{h}\right)^2 + 0,06 \cdot \left(\frac{a}{h}\right)^4 \right]$$

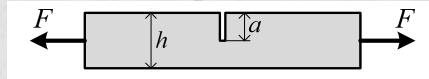
I uvijek se može svesti na oblik:

$$\frac{F}{b \sqrt{h}} f\left(\frac{a}{h}\right) = \frac{F}{\underbrace{bh}_G} \sqrt{\frac{h}{\pi a}} \sqrt{\pi a} = Y\left(\frac{a}{h}\right) \sigma \sqrt{\pi a}$$

32

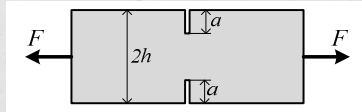


**Rješenja za nekoliko uobičajenih oblika tijela (uzorka) s pukotinom opterećenih vlačnom silom  $F$**



SENT  
uzorak

$$f(a/h) = \frac{\sqrt{2 \cdot \tan \frac{\pi \cdot a}{2 \cdot h}}}{\cos \frac{\pi \cdot a}{2 \cdot h}} \cdot \left[ 0,752 + 2,02 \cdot \frac{a}{h} + 0,37 \cdot \left( 1 - \sin \frac{\pi \cdot a}{2 \cdot h} \right)^3 \right]$$



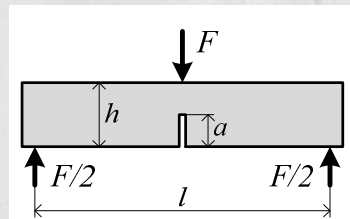
DENT  
uzorak

$$f(a/h) = \frac{\sqrt{\frac{\pi \cdot a}{2 \cdot h}}}{\sqrt{1 - \frac{a}{h}}} \cdot \left[ 1,122 - 0,561 \cdot \frac{a}{h} - 0,205 \cdot \left( \frac{a}{h} \right)^2 + 0,471 \cdot \left( \frac{a}{h} \right)^3 + 0,19 \cdot \left( \frac{a}{h} \right)^4 \right]$$

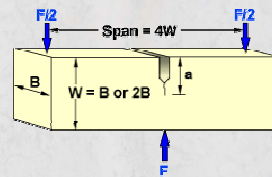
$$K_I = \frac{F}{b \cdot \sqrt{h}} \cdot f(a/h)$$

33

**Rješenja za tijelo (uzorak) s pukotinom opterećenog na savijanje u tri točke**



SENB  
uzorak



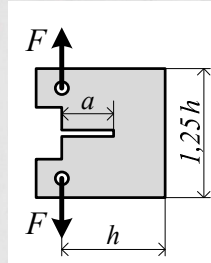
$$f(a/h) = \frac{3 \cdot \frac{l}{h} \cdot \sqrt{\frac{a}{h}}}{2 \cdot \left( 1 + 2 \cdot \frac{a}{h} \right) \cdot \left( 1 - \frac{a}{h} \right)^{\frac{3}{2}}} \cdot \left\{ 1,99 - \frac{a}{h} \cdot \left( 1 - \frac{a}{h} \right) \cdot \left[ 2,15 - 3,93 \cdot \frac{a}{h} + 2,7 \cdot \left( \frac{a}{h} \right)^2 \right] \right\}$$

$$K_I = \frac{F}{b \cdot \sqrt{h}} \cdot f(a/h)$$

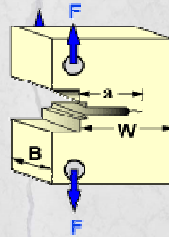
POGODAN ZA  
BETON

34

**Rješenje za tijelo (uzorak) s pukotinom opterećenog silom  $F$  prema normi ASTM**



*CT uzorak*

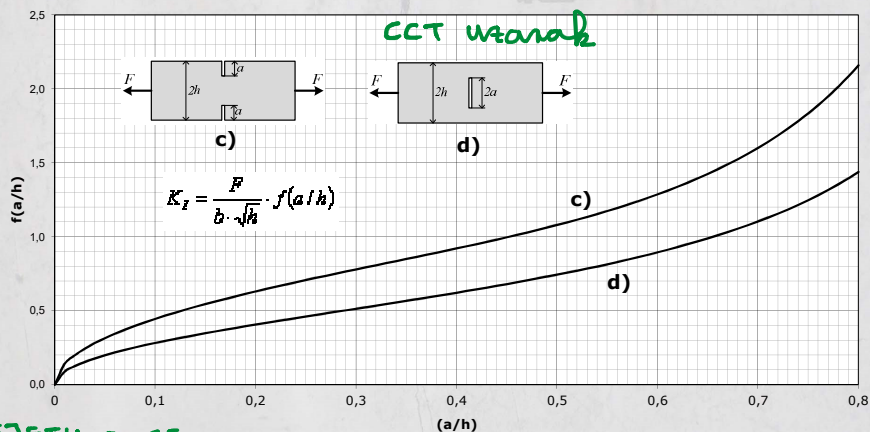


$$f(a/h) = \frac{2 + \frac{a}{h}}{\left(1 - \frac{a}{h}\right)^{\frac{3}{2}}} \left[ 0,886 + 4,64 \cdot \frac{a}{h} - 13,32 \cdot \left(\frac{a}{h}\right)^2 + 14,72 \cdot \left(\frac{a}{h}\right)^3 - 5,6 \cdot \left(\frac{a}{h}\right)^4 \right]$$

$$K_I = \frac{F}{b \cdot \sqrt{h}} \cdot f(a/h)$$

35

**POPRAVNE FUNKCIJE  $f(a/h)$**



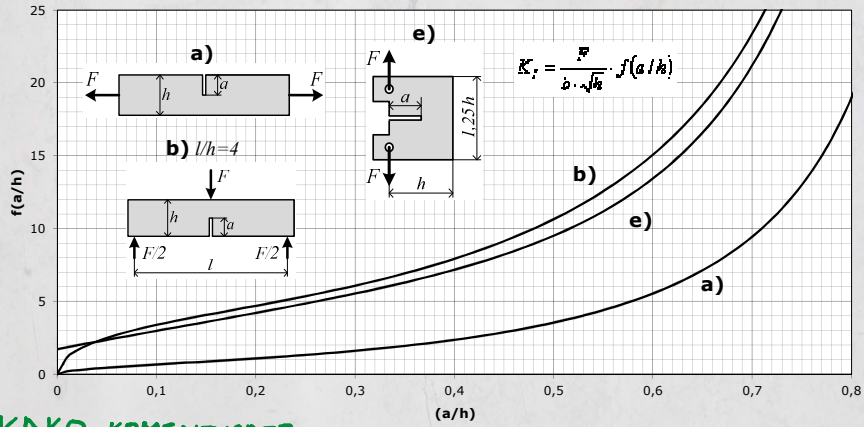
$$K_I = \frac{F}{b \cdot \sqrt{h}} \cdot f(a/h)$$

*SJETIMO SE  
EKSPERIMENTA  
S PAPIROM*

$$K_I = \frac{F}{b \cdot \sqrt{h}} \cdot f(a/h)$$

36

POPRAVNE FUNKCIJE  $f(a/h)$



KAKO KOMENTIRATE OVE REZULTATE?

$$K_I = \frac{F}{b \cdot \sqrt{h}} \cdot f(a/h)$$

### 5.7.2 Princip superpozicije

Kod linearno elastičnog materijala, pojedinačne komponente naprezanja, deformacija i pomaka se mogu zbrajati.

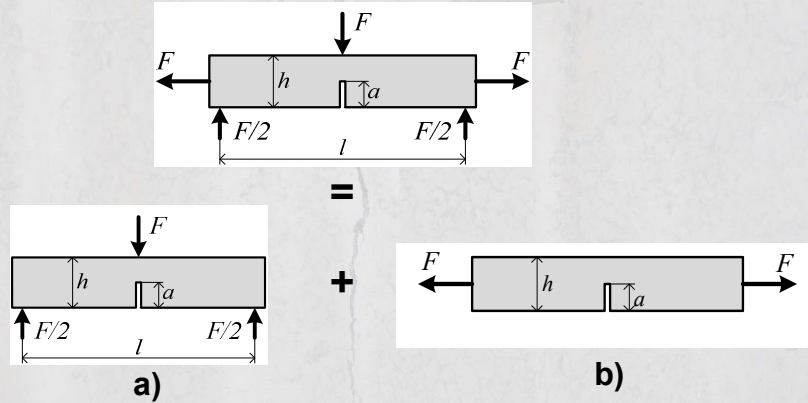
Slično je i sa koeficijentima intenziteta naprezanja, koji se **moгу zbrajati za iste oblike otvaranja pukotine**.

$$K_I^{ukupno} = K_I^{(A)} + K_I^{(B)} + K_I^{(C)} + \dots$$

ali  $K^{ukupno} \neq K_I + K_{II} + K_{III}$

NEMA NIKAKVOG SMISLA!

### Princip superpozicije

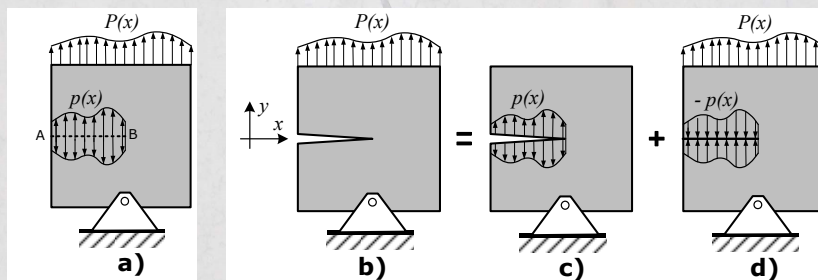


$$K_I^{ukupno} = K_I^{(a)} + K_I^{(b)} = \frac{1}{b\sqrt{h}} \cdot \left[ F_a \cdot f_a \left( \frac{a}{h} \right) + F_b \cdot f_b \left( \frac{a}{h} \right) \right]$$

39

### Princip superpozicije

- Tijelo s naprezanjem  $P(x)$  na rubu koje uzrokuje naprezanje  $p(x)$  na ravni AB.



$$K_I^{(b)} = K_I^{(c)} + K_I^{(d)} = K_I^{(c)} + 0 = K_I^{(c)}$$

- Ovako se može primijeniti princip superpozicije ako se na ravni AB pojavi pukotina.

40

## 5.8 Odnos između $K$ i $G$

Do sada su prikazana dva parametra koji opisuju ponašanje pukotine:

$G$  - **brzina oslobađanja energije** (opisuje globalno ponašanje)

$K$  - **koeficijent intenziteta napreznja** (lokalni parametar)

Za linearno elastične materijale  $K$  i  $G$  su jedinstveno povezani.

$$G = \frac{\pi \cdot \sigma^2 \cdot a}{E'} \iff K_I = \sigma \cdot \sqrt{\pi \cdot a}$$

$$G = \frac{K_I^2}{E'}$$

□ Za središnju pukotinu u beskonačnoj ploči izloženoj vlačnom napreznju.

$$E' = E \quad \text{za ravninsko napreznje}$$

$$E' = \frac{E}{1 - \nu^2} \quad \text{za ravninsku deformaciju}$$

41

# KRAJ PREDAVANJA!

42